ALBUM DE FOTOS

HOJA Nº 529(14-21)

(SANTA MARIA DEL BERROCAL)

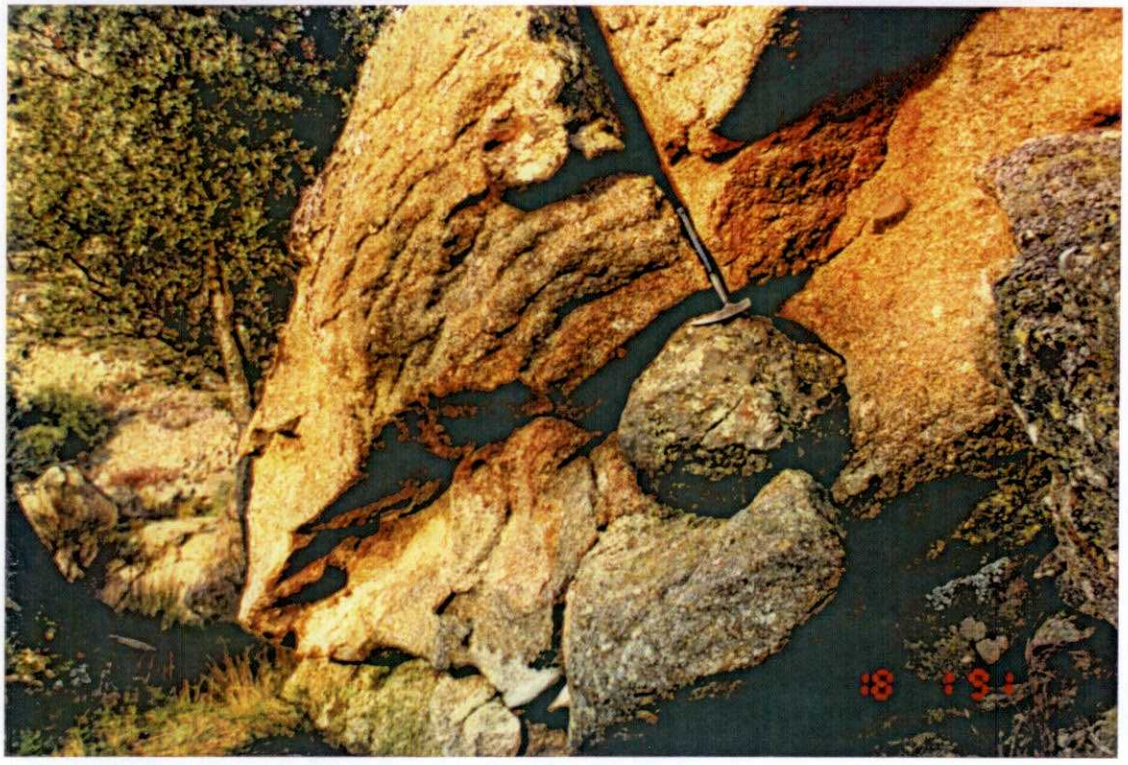
ROCAS BASICAS E INTERMEDIAS (14)



SC 9535. Afloramiento de un enclaves de rocas básicas/intermedias (14) en las granodioritas biotíticas de grano medio con megacristales de feldespato-K (tipo El Mirón) (16). NW de Tórtoles.



SC 9536. Detalle de la anterior. Observese los dos sistemas de "costillares": N145°E cortado por N20°E.



EC 9512. Enclave centimétrico ("bolo") de rocas básicas/intermedias (14) dentro de las granodioritas tipo El Mirón (16).



EC 9506. Enclave métrico ("bolo") de rocas básicas/intermedias (14) dentro de las granodioritas tipo El Mirón (16). Norte de Navahermosa de Corneja.



EC 9503. Cuarzodiorita anfibólica (14) (afloramiento en el extremo SW de la Hoja, Sur de Bercimuelle).



EC 9504. Gabro/diorita anfibólica (14) (afloramiento en el extremo SW de la Hoja, Sur de Bercimuelle).

GRANODIORITAS Y TONALITAS BIOTITICAS HETEROGENEAS DE GRANO MEDIO (VALDEMOLINOS) (15)



EC 9500. Afloramiento de granodioritas y/o tonalitas biotíticas heterogéneas de grano medio (tipo Valdemolinos) (15). Situación: carretera de Santa María del Berrocal a Valdemolinos, entrada a esta última localidad.



EC 9501. Detalle del afloramiento anterior. Obsérvese el aspecto heterogéneo de la roca.



EC 9514. Afloramiento de granodioritas y/o tonalitas biotíticas heterogéneas de grano medio (tipo Valdemolinos) (15) englobando bolos de rocas básicas (14). Situación: carretera de Santa María del Berrocal a Valdemolinos.



EC 9502. Enclaves metasedimentario en las granodioritas y/o tonalitas biotíticas heterogéneas de grano medio (tipo Valdemolinos) (15). Situación: Norte de la Ermita de la Concepción.



EC 9531. Afloramiento de granodioritas y/o tonalitas biotíticas heterogéneas de grano medio (tipo Valdemolinos) (15). Observese el aspecto marcadamente heterogéneo de la roca. Situación: carretera de El Mirón a Aldealabad del Mirón, Km 1.700.



EC 9532. Detalle de la anterior.

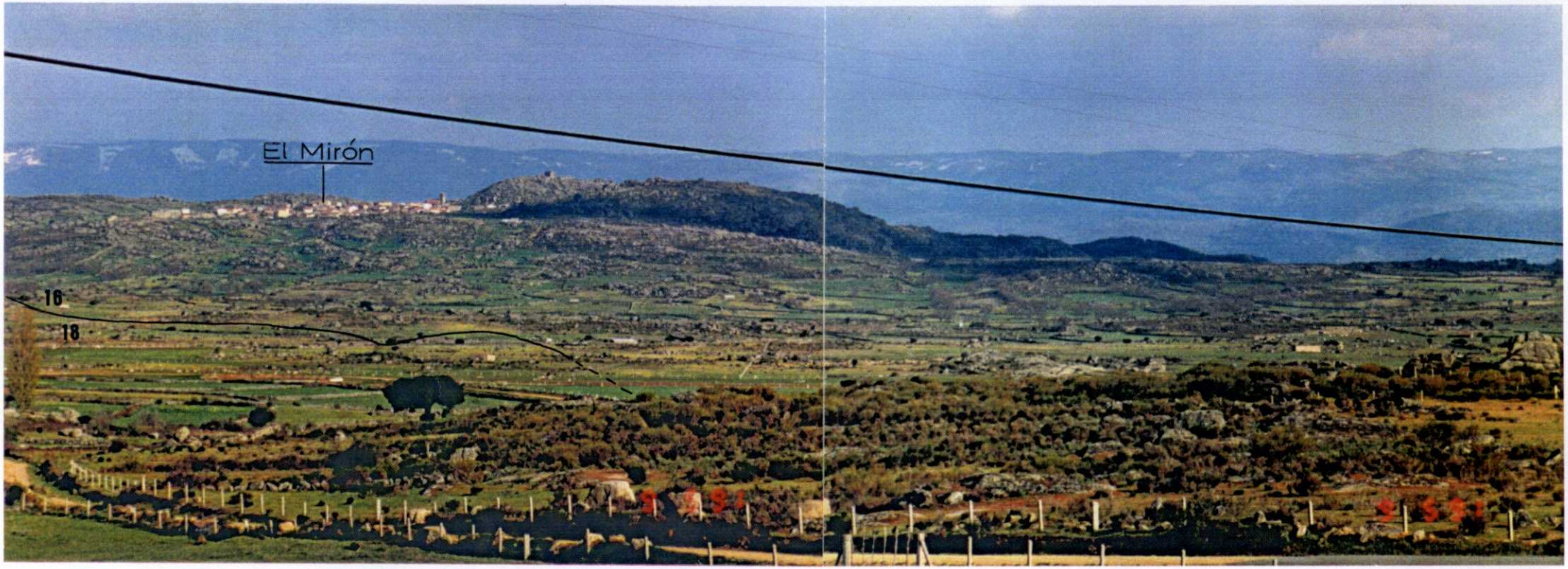


EC 9533. Detalle de las anteriores (EC 9532 y 9532). La foliación presenta una dierección N160°E/20°E.



EC 9534. Afloramiento de granodioritas y/o tonalitas biotíticas heterogéneas de grano medio (tipo Valdemolinos) (15). Situación: carretera de El Mirón a Aldealabad del Mirón, Km 2.100.

GRANODIORITAS BIOTITICAS DE GRANO MEDIO CON MEGACRISTAES DE FELDESPATO-K (EL MIRON) (16)



EC 9544. Vista panorámica, desde el Km 36 de la carretera de Gallegos de Solmirón a Mercadillo, de los afloramientos de granodioritas biotíticas de grano medio con megacristales de feldespato-K (tipo El Mirón) (16) en los alrededores de el pueblo El Mirón.



SC 9540. Detalle de la granodiorita biotítica de grano medio con megacristales de feldespato-K (El Mirón) (16) al Sur de San Miguel de Serrezuela.



SC 9539. Detalle de la granodiorita biotítica de grano medio con megacristales de feldespato-K (El Mirón) (16) al Norte del Cerro Cabeza Mesa (NE de Tórtoles).



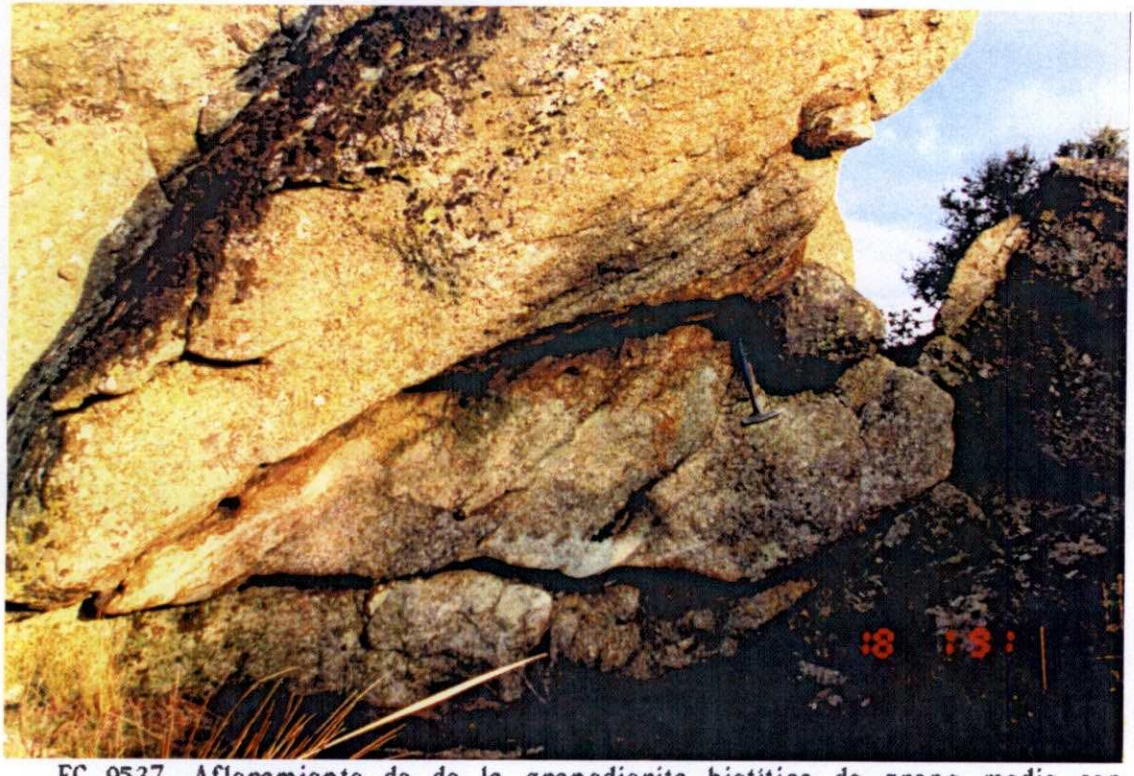
SC 9541. Detalle de la granodiorita biotítica de grano medio con megacristales de feldespato-K (El Mirón) (16) al NW de Tórtoles. Obsérvese una vena silícea que da lugar a la orientación de las biotitas en el contacto con la granodiorita.



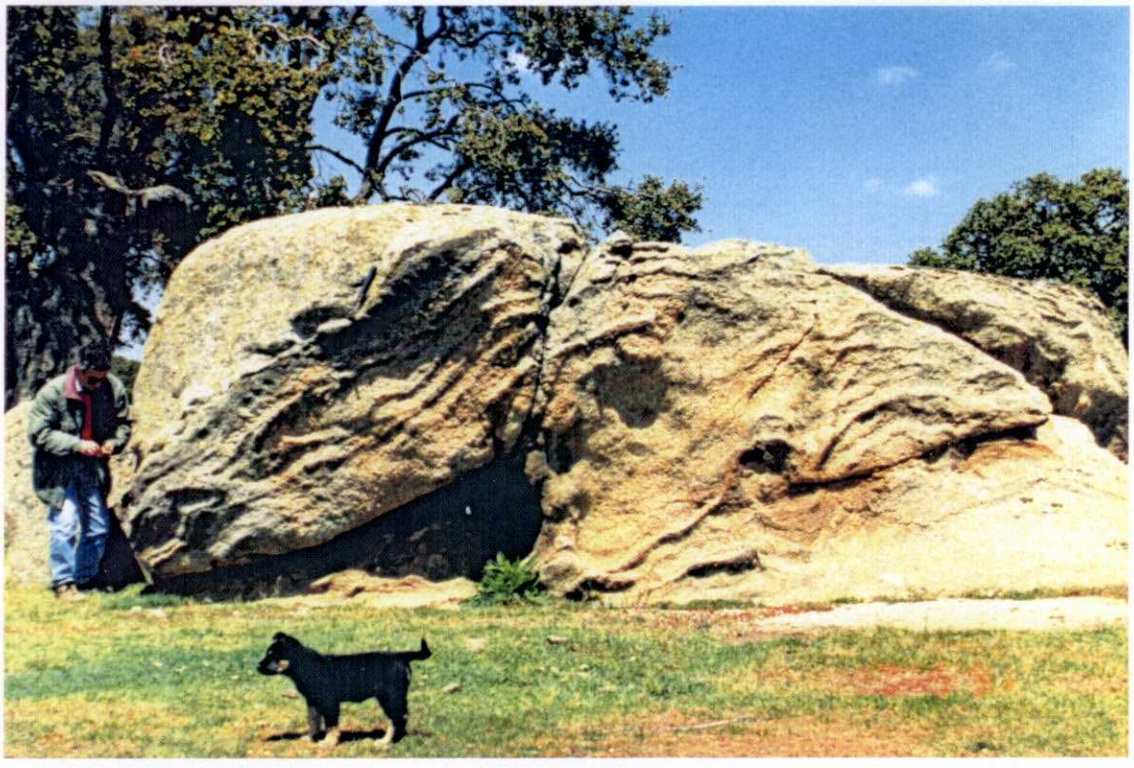
SC 9542. Detalle de la granodiorita biotítica de grano medio con megacristales de feldespato-K (El Mirón) (16) al Sur de Gallegos de Solmirón (próxima al contacto con el encajante). Se aprecian concentrados de biotitas que definen una fábrica orientada.



SC 9543. Detalle de la granodiorita biotítica de grano medio con megacristales de feldespato-K (El Mirón) (16) en el extremo SE de la Hoja (Sur Casas del Puerto de Villatoro). Obsérvese los megacristales formando una trama abierta en una matriz rica en biotita.



EC 9537. Afloramiento de de la granodiorita biotítica de grano medio con megacristales de feldespato-K (El Mirón) (16) al Norte de la Ermita de la Concepción. Foliación N50°E/35W marcada por megacristales, biotitas y schlieren.



EC 9526. Afloramiento de la granodiorita biotítica de grano medio con megacristales de feldespato-K (El Mirón) (16) al Este de Pascualcobo. Obsérvese la foliación N50°E/30W.



EC 9527. Detalle de la foto anterior en la que se aprecia la foliación marcada principalmente por schlieren biotíticos.



EC 9513. Afloramiento de la granodiorita biotítica de grano medio con megacristales de feldespato-K (El Mirón) (16) en el que se aprecia un enclave metasidimentario.



EC 9505. Afloramiento de la granodiorita biotítica de grano medio con megacristales de feldespato-K (El Mirón) (16) al Sur de Gallegos de Solmirón cortada por diques de leucogranitos aplíticos.

GRANITOS BIOTITICOS ± CORDIERITA ± MOSCOVITA DE GRANO GRUESO (17)



SC 9545. Detalle de los granitos biotíticos con cordierita y algo de moscovita de grano grueso (17). Afloramiento en el cruce de Santa María del Berrocal a El Mirón. Obsérvese el cristal de cordierita y el aspecto heterométrico grueso.



SC 9546. Detalle de un pequeño afloramiento de granito biotítico de grano grueso con cordierita y algo de moscovita (17), al Sur de San Miguel de Serrezuela. Se aprecia una fábrica groseramente foliada N20°E/55°E.

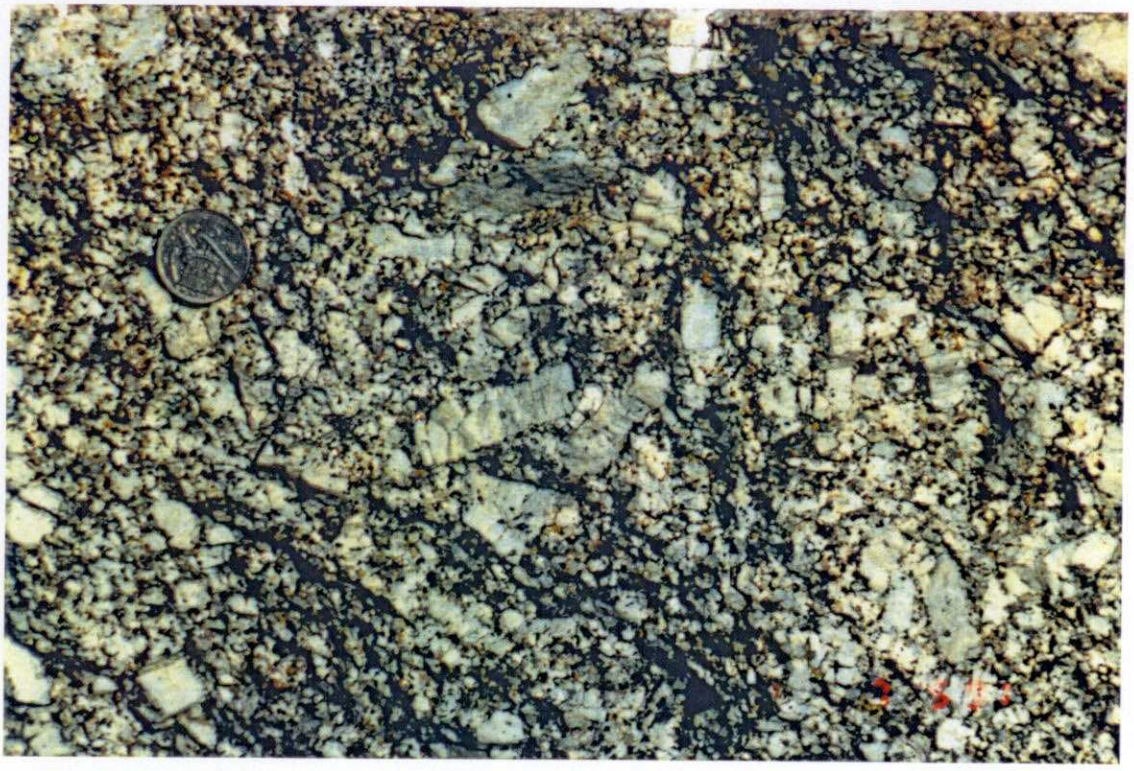
MONZOGRANITOS BIOTITICOS PORFIDICOS DE GRANO GRUESO (18)







EC 9508, 9509 y 9510. Contacto intrusivo entre monzogranito biotítico porfídico de grano grueso (18) y otro de grano medio, no porfídico, que aparece como una pequeña masa y que asimilamos a la variedad de Valdemolinos (15). Afloramiento en la carretera de El Mirón a Aldealabad del Mirón (aprox. km 3.600).

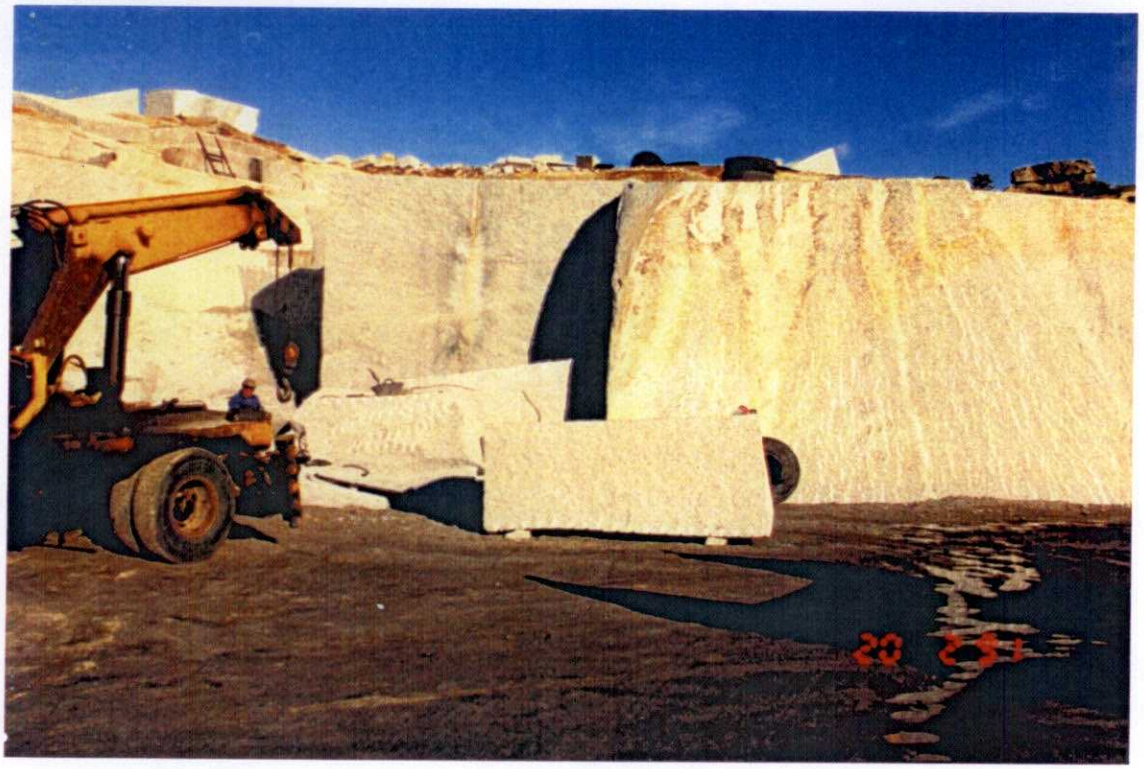


EC 9528. Detalle del monzogranito biotítico porfídico de grano grueso (18) en el vértice El Picote (Repetidor de TV), al Norte de Casas del Puerto de Villatoro.



SC 9547. Variedad del monzogranito biotítico de grano grueso (18) sin apenas megacristales. Afloramiento de un bolo suelto de tamaño métrico en el extremo Este de la Hoja (al NW de Villanueva de Campillo).

GRANITO BIOTITICO MOSCOVITICO (MARTINEZ) (20)



EC 9518. Cantera en el granito (monzogranito) biotítico moscovítico de Martínez (20) en el Cerro Berrocal (N de Martínez).



EC 9519. Detalle del granito de la foto anterior.

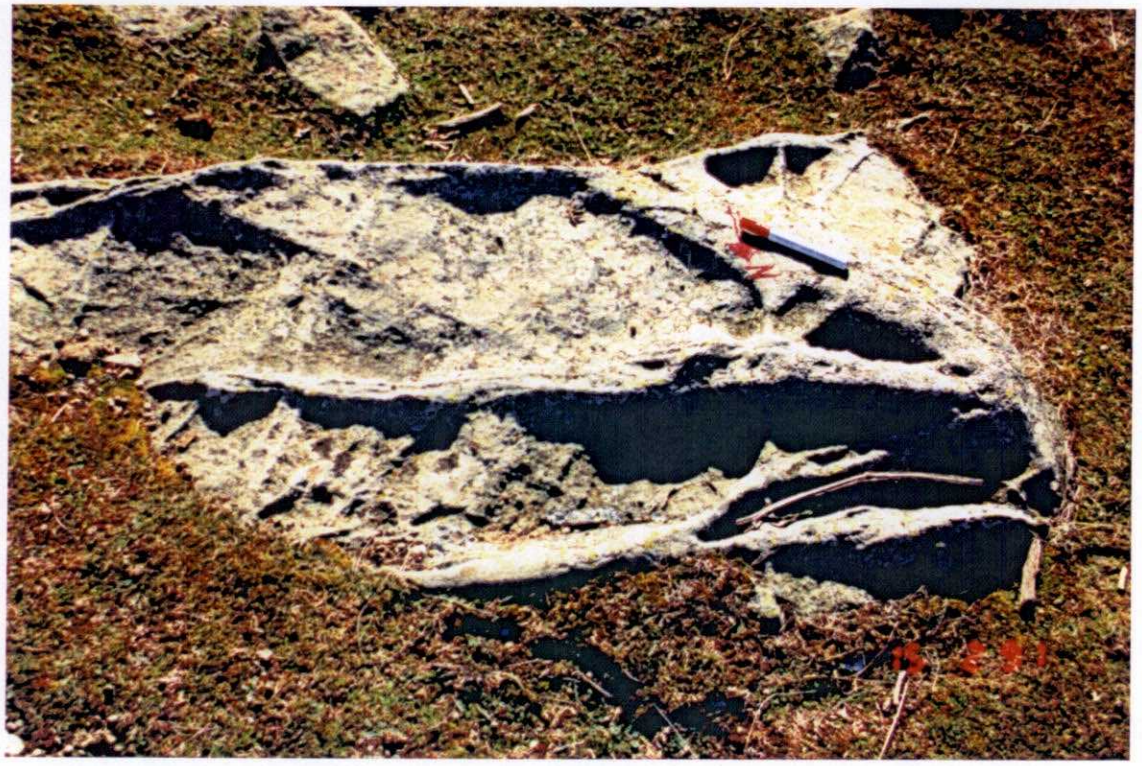


EC 9520. Detalle granito (monzogranito) biotítico moscovítico de Martínez (20) en el Cerro Berrocal (N de Martínez).

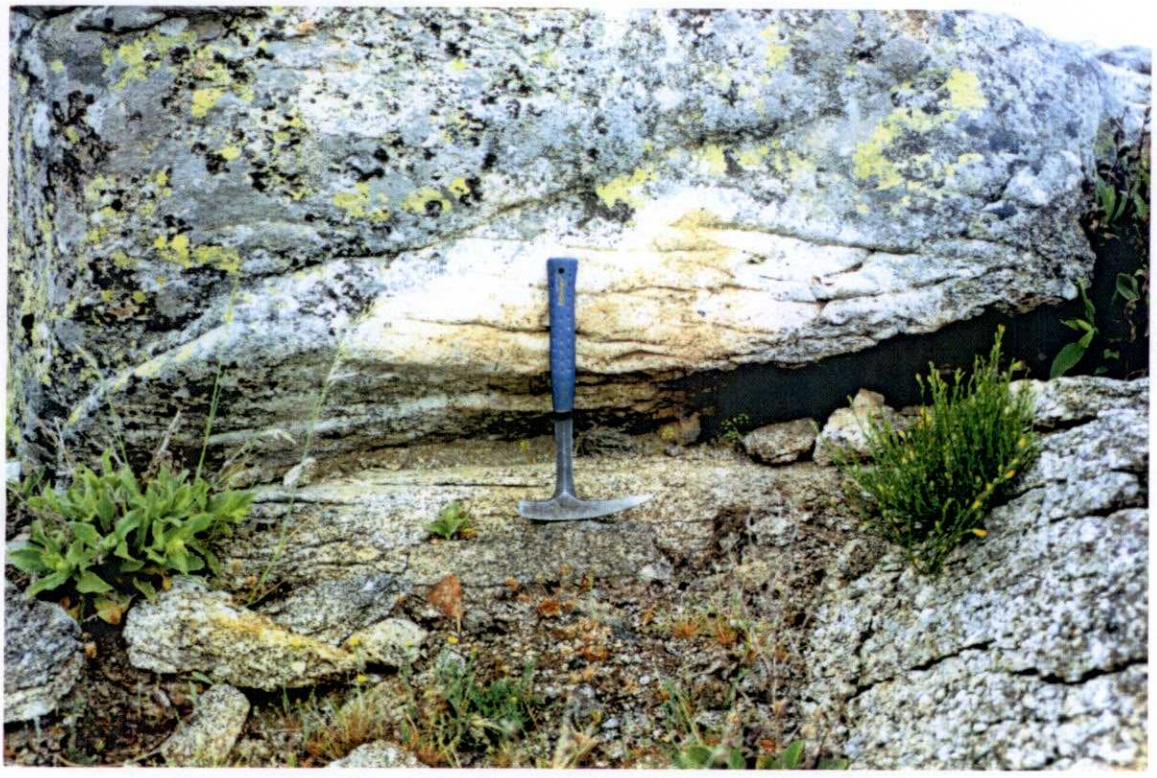


EC 9521. Detalle del contacto intrusivo del granito de Martínez con materiales esquistosos de la Formación Monterrubio (CEG) en la carretera de Martínez a Chagarcía Medianero.

ROCAS FILONIANAS



EC 9517. Dique de tonalitas microgranudas (3) intruyendo al monzogranito biotítico porfídico de grano grueso (N de Tórtoles).



SC 9550. Pequeño dique de leucogranitos aplíticos intruyendo a la granodiorita biotítica de grano medio con megacristales de feldespato-K (tipo El Mirón) en la parte oriental de la Hoja.



EC 9515. Dique de leucogranito aplítico (4) intruyendo al monzogranito biotítico porfídico de grano grueso (N de Casas del Puerto de Villatoro).



EC 9523. Pequeño dique de leucogranitos aplíticos intruyendo a la granodiorita biotítica de grano medio con megacristales de feldespato-K (tipo El Mirón) al SE de Pascualcobo (paraje El Rincón).



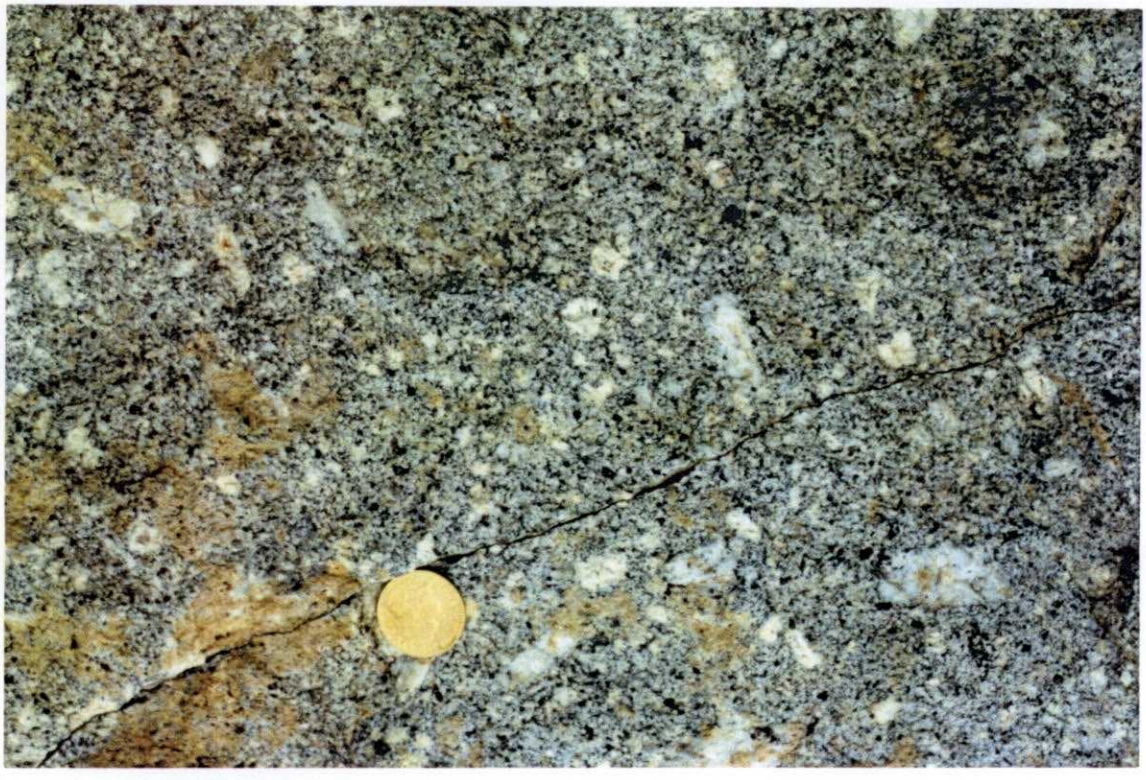
SC 9551. Detalle del aspecto de un dique de leucogranitos aplíticos (4) intruyendo a las granodioritas biotíticas con megacristales (16) de grano medio al Sur de Gallegos de Solmirón. Obsérvese los núcleos centimétricos de agregados de cordierita.



SC 9552. Idem a la anterior.



EC 9516. Dique de pórfido granítico (5) intruyendo al monzogranito biotítico porfídico de grano grueso (18) al Norte de Tórtoles.



SC 9553. Detalle del aspecto textural de un dique de pórfido granítico (5) de 12 m de potencia intruyendo al monzogranito biotítico porfídico de grano grueso (18) al Sur de Castellanos.

ENCLAVES DE METASEDIMENTOS CORNEANIZADOS



EC 9507. Enclave de corneanas migmatíticas en las que se aprecia una foliación residual N90°E/45°S (frontón de El Mirón).



EC 9522. Enclave de corneanas migmatíticas en las que se aprecia una foliación N110°E/40°N al SE de El Mirón.

ZONA DE FRACTURA DE CASTELLANOS-NARRILOS DEL ALAMO



EC 9548. Aspecto de la fractura Castellanos-Narrillos del Alamo al Sur de Pascualcobo. Obsérvese la amplia banda de roca fracturada, (aproximadamente 40 m.), que produce una zona deprimida, que localmente da lugar a zonas de encharcamiento.

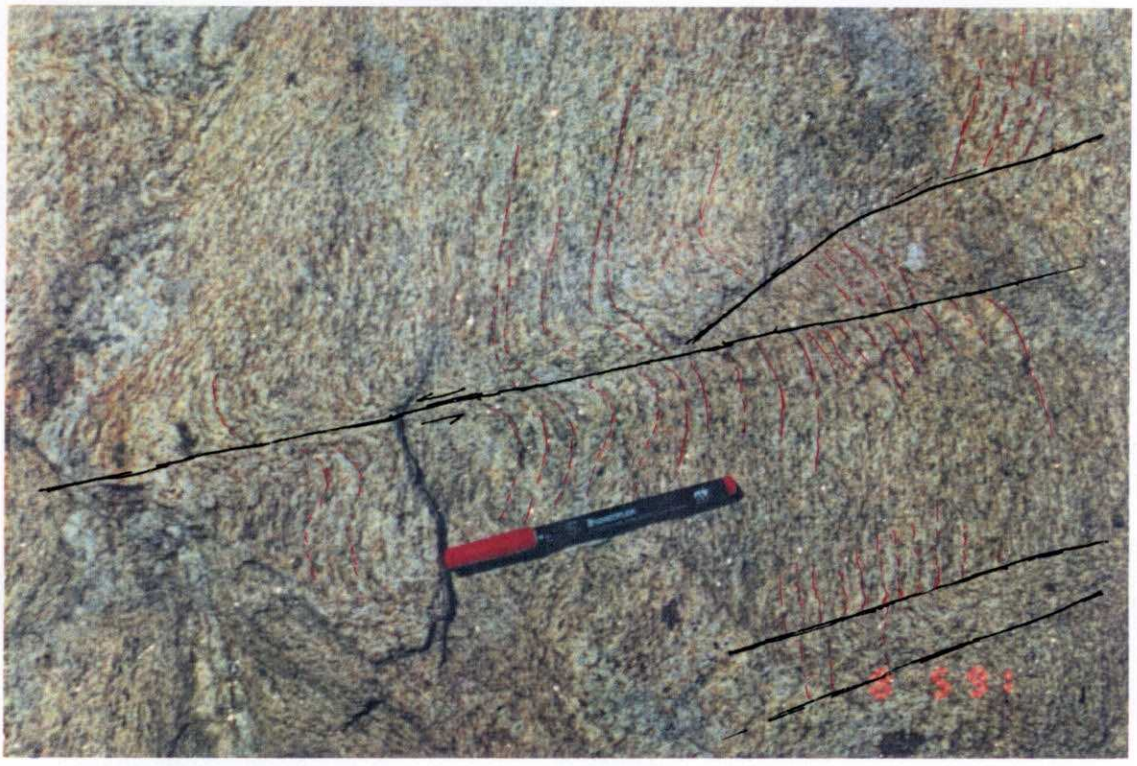


EC 9525. Aspecto textural de las granodioritas biotíticas con megacristales de feldespato-K de grano medio (16) en la zona de fractura anterior.

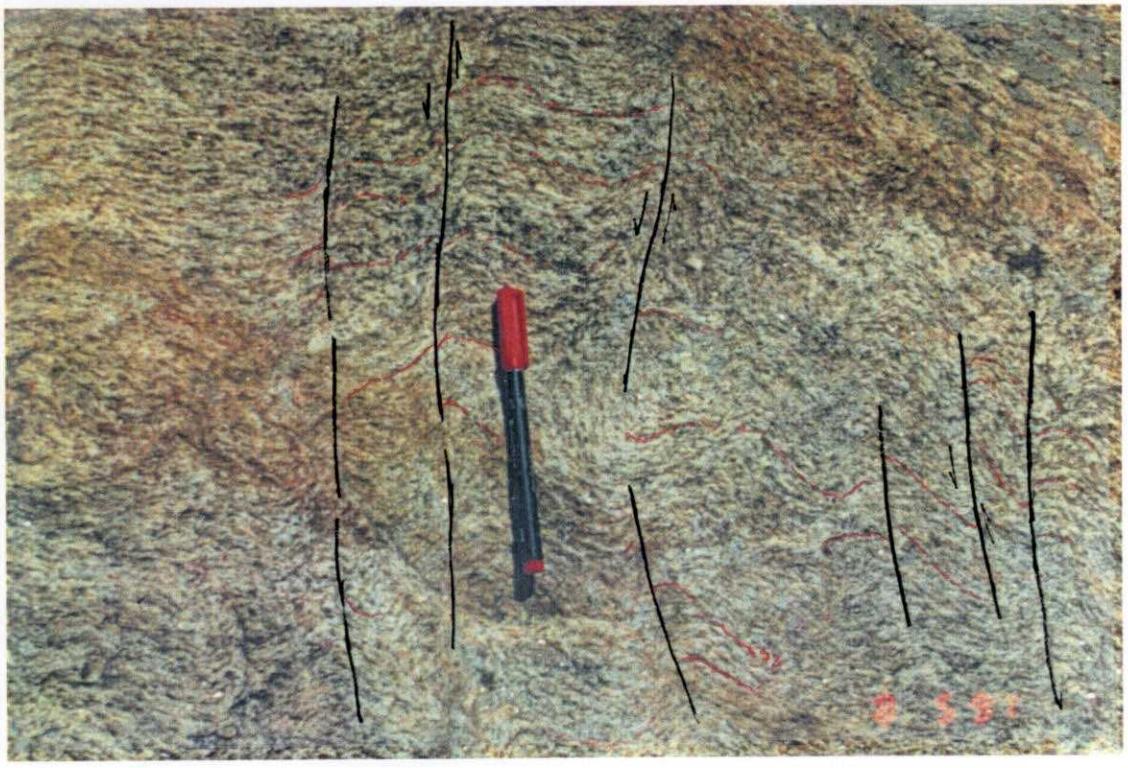
SERIE NEISICA DE CASTELLANOS



EC 9549. Aspecto de la fábrica neísica del ortoneis de Castellanos (9). Obsérvese los porfirocristales de feldespato envueltos por la foliación y el estiramiento mineral. La foliación media es NW-SE.



EC 9529. Ortogneises leucocráticos (8) en las proximidades de Carpio-Medianero. Se aprecia la foliación (S_2) de dirección N140°-150°E afectada por planos de cizalla senestros N25°-30°E. Estas cizallas parecen estar relacionadas con fases tardías, ya que son paralelas a los diques de pegmatoides no deformados y a los de cuarzo.

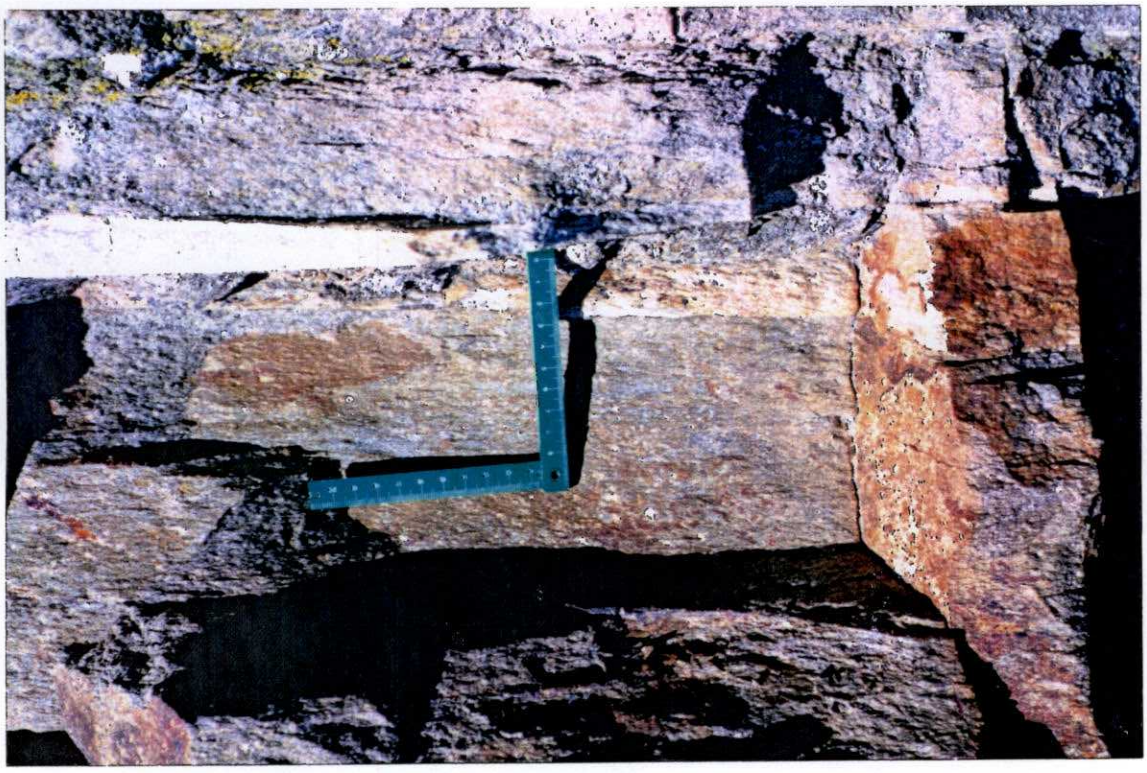


EC 9530. Ortogneises leucocráticos (8) en las proximidades de Carpio-Medianero. Se aprecia la foliación (S_2) de dirección N140°-150°E afectada por planos de cizalla senestros N25°-30°E. Estas cizallas parecen estar relacionadas con fases tardías, ya que son paralelas a los diques de pegmatoides no deformados y a los de cuarzo.



DN 9145

Detalle de pizarras con finas pasadas de areniscosas, perteneciente a la Fm. Monterrubio, N de Armenteros



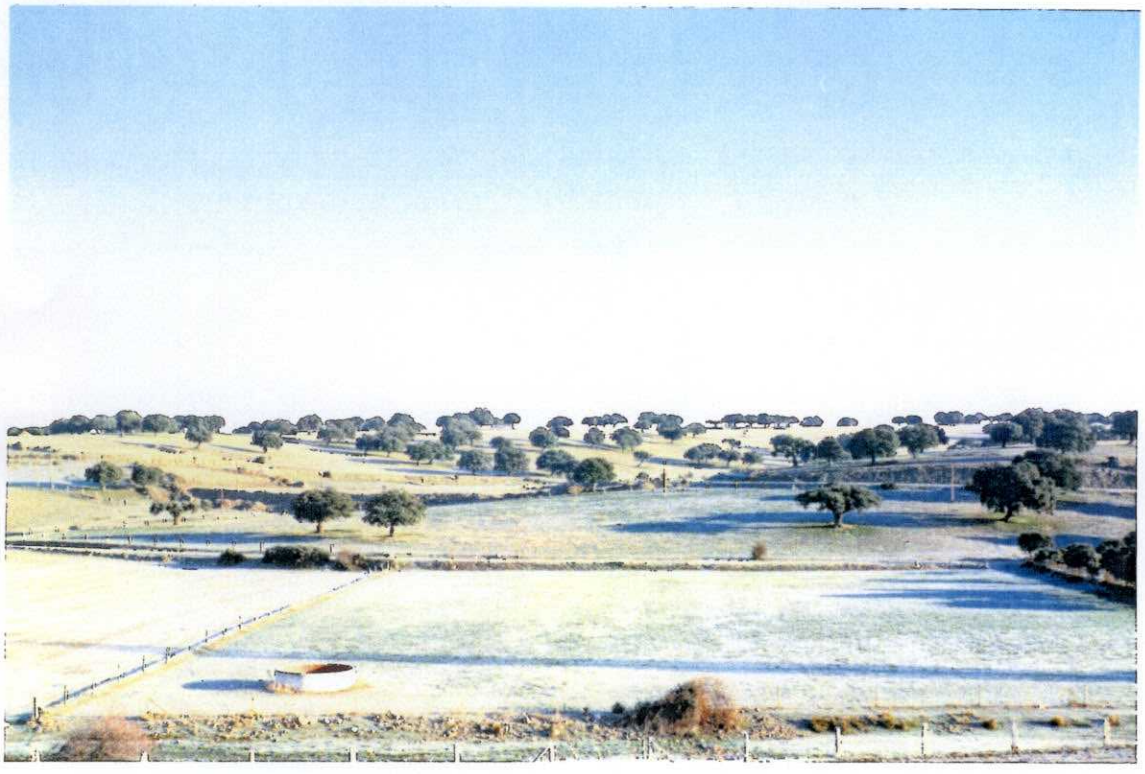
DM 9146

Detalle de porfúsides en Diego Alvaro (Fm. Monterrubio)



DM 9147

Vista parcial de afloramientos de las Calizas de Tamames al NE de Santa María del Berrocal.



DM 9148

Panorama del contacto entre las arcosas paleógenas (izquierda) y las pizarras de la Formación Monterrubio (derecha).



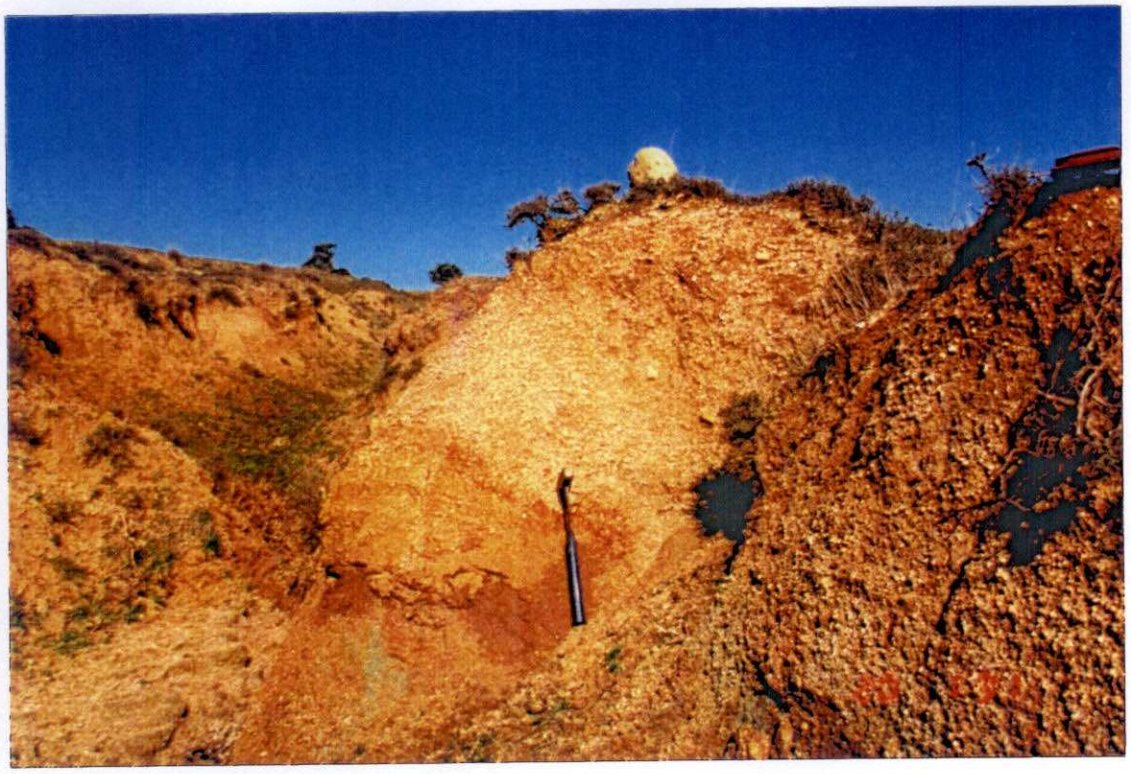
DM 9149

Vista parcial del talud existente en el p.K. 22 de la C. 510, perteneciente a las arcosas con cantos del Paleógeno.



DM 9150

Detalle de la foto anterior



DM 9151

Vista parcial de la arcosa existente en el borde de la fosa; levantada por fractura en el area sur de la Hoja (Becedillas de Corneja)



DM 9152

Detalle de las arcosas del borde de la fosa en la foto anterior, observándose procesos de hidromorfismo.



DM 9153

Panorámica del límite entre granitos y arcosas en la Fosa de Santa María del Berrocal



DM 9154

Panorámica de las arenas, cantos y arcillas rojas del Neógeno en el p.K. 26 de la ctra Armenteros-Alba de Tormes



DM 9155

Detalle de las arcosas con cantos existentes en el primer talud de la foto anterior



DM 9156

Detalle de arcillas arenosas rojas del talud de la derecha en la foto nº 1954



DM 9157

Detalle de la S2 dominante en toda la hoja, tomada al N de Revalvos



DM 9158

Vista parcial del pliegue de F2 en el p.K. 30,5 de la ctra Armenterios--Alba de Torres



DM 9159

Detalle de pliegue de F2 en Revalvos



DM 9160

Detalle de pliegue de F2 en el p.K. 1,5 de la ctra Mercadillo-Narillos del Alamo



DM 9161

Detalle de pliegues de F2 en el p.K. 35 de la ctra Gallegos de Salmirón -Alba de Tormes. En la charnela del pliegue central, se observa la L1 plegada



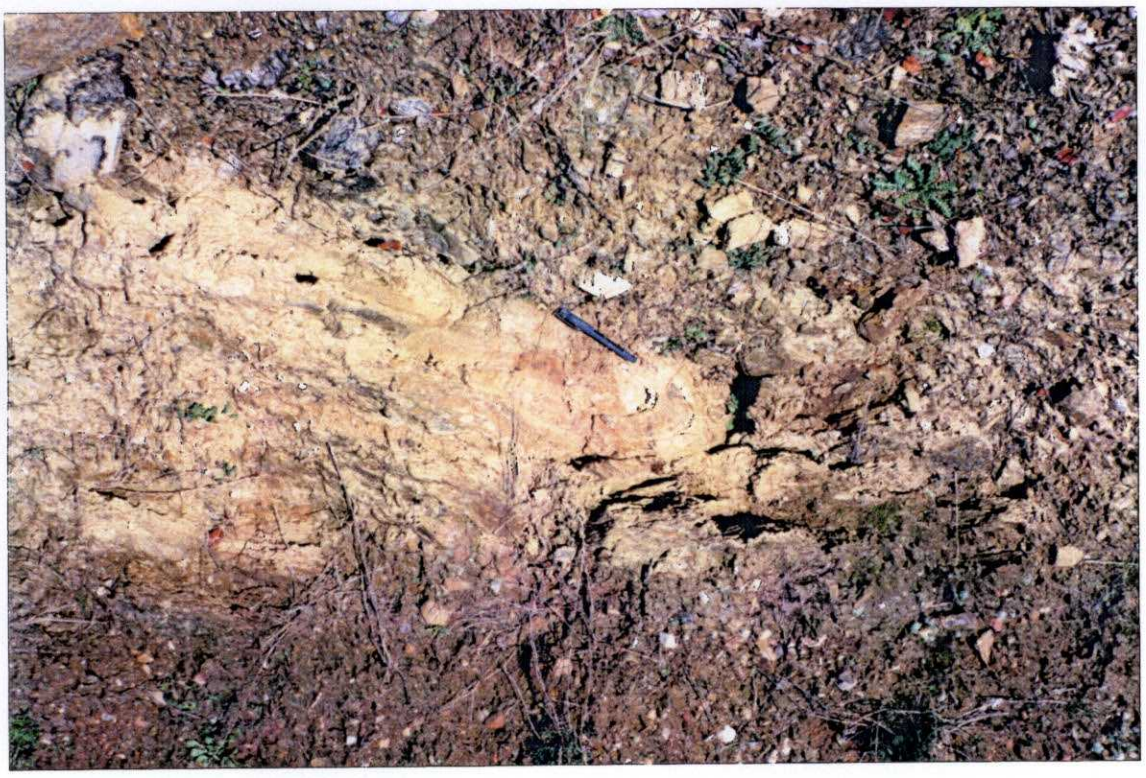
Dm 9162

Detalle de pliegue de F3 al N de Gallegos de Salmirón



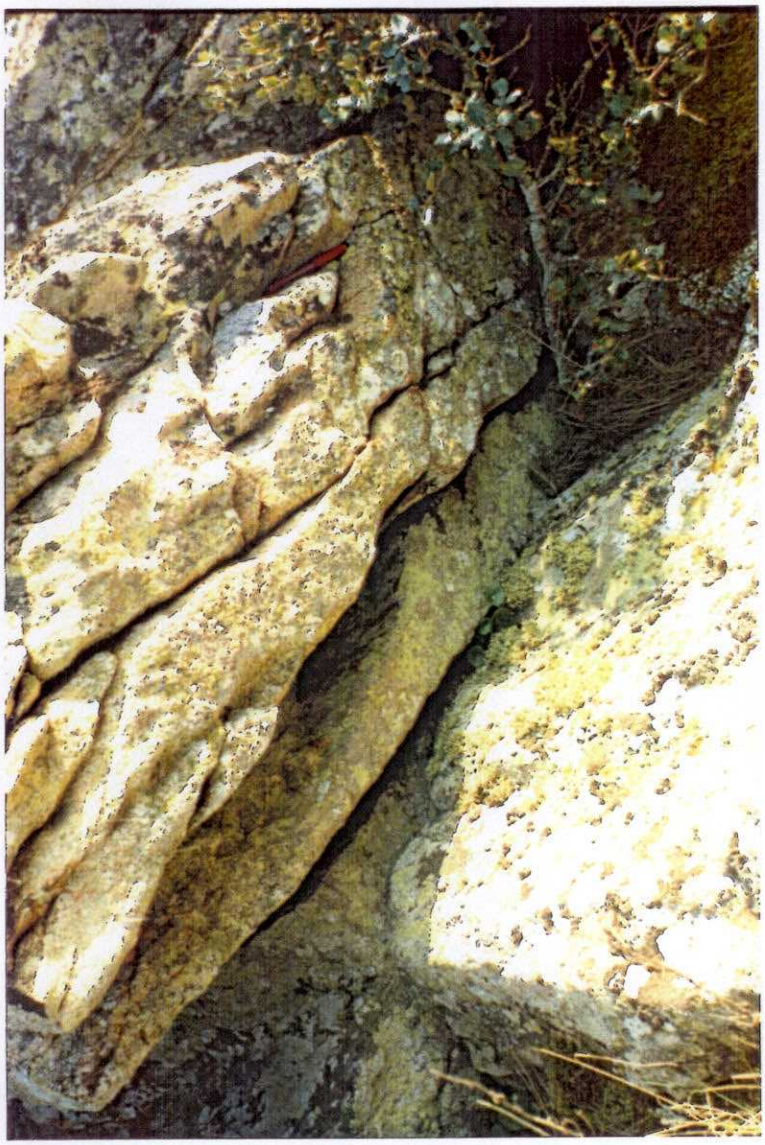
DM 9163

Detalle de pliegues de F3, al SE de Diego Alvaro. Flanco E de la antiforma de Castellanos



DM 9164

Detalle de pliegue de F2 con plano axial subhorizontal plegado por la F3, en el area de cuenca de la antiforma de Castellanos, N de Chagarcia Medianero

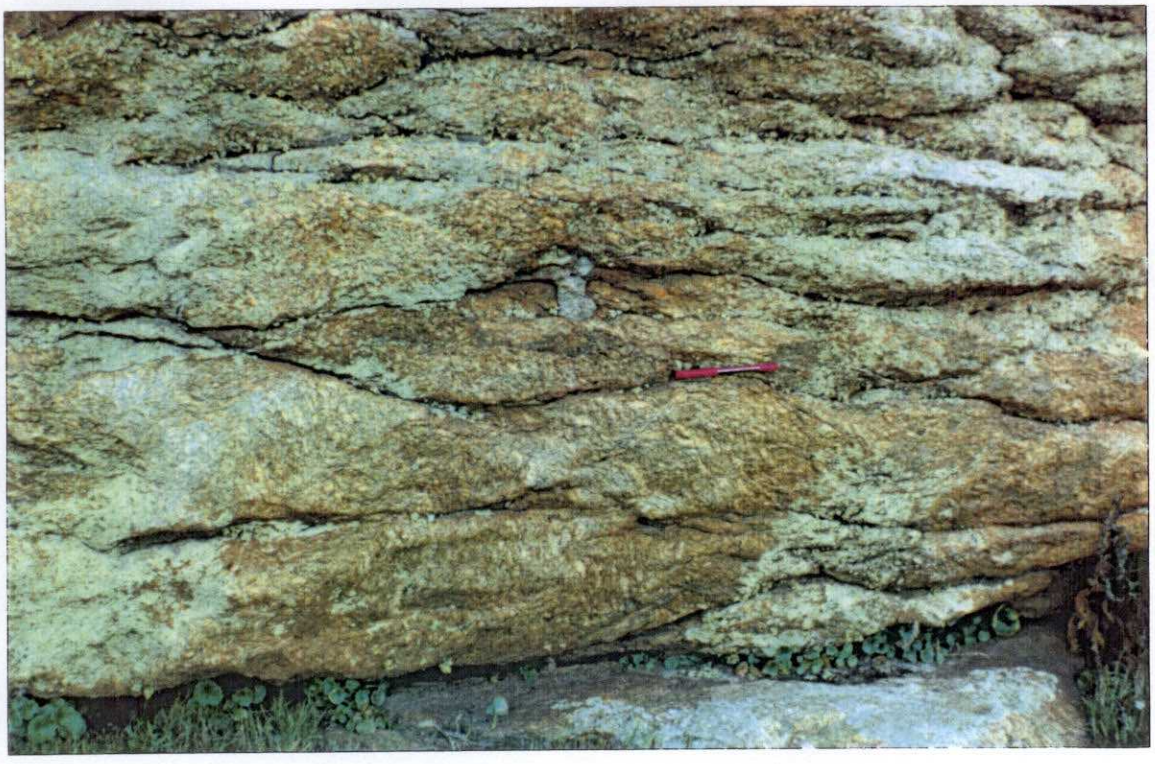


DM 9165

Vista parcial de afloramiento de ortoneises leucocráticos en la Sierra de Bercimuelle, límite O de la Hoja con la de Guijuelo.

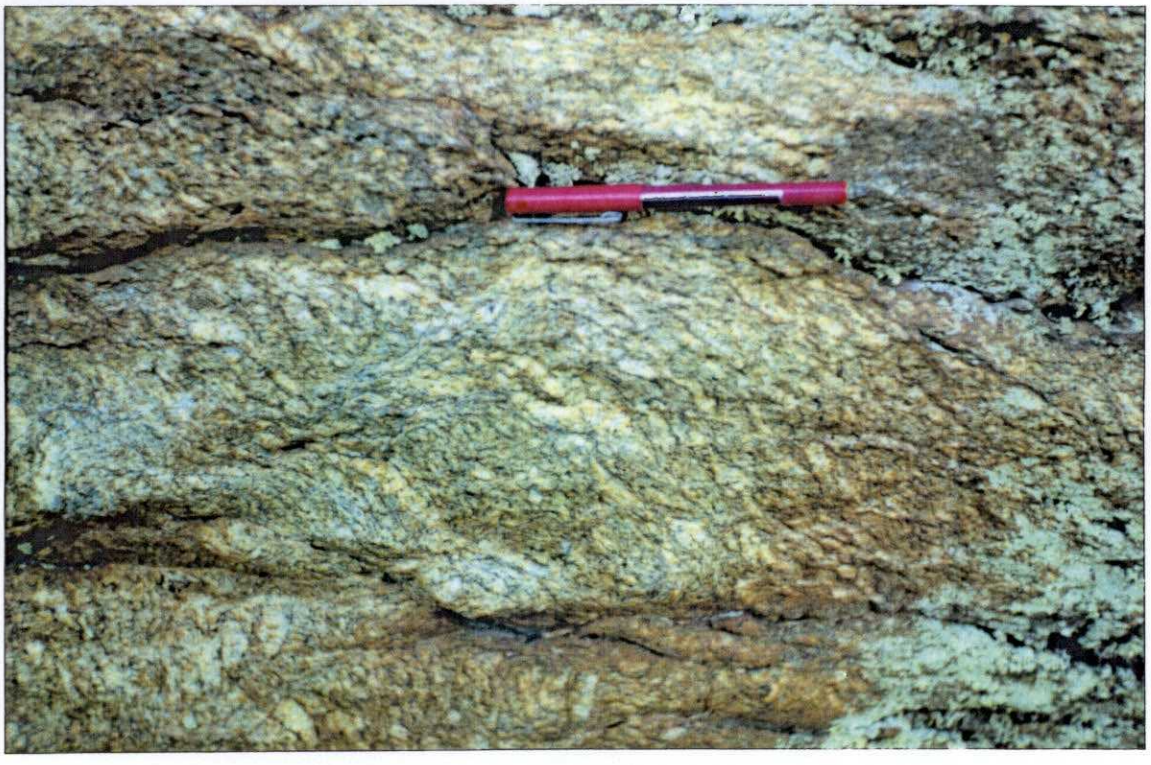


DM 9166
Detalle de ortoneises de Bercimuelle, en la misma localidad



DM 9167

Vista parcial del afloramiento de ortoneises de Bercimuelle con cizallas. subhorizontales al NE de la citada localidad.



DM 9168

Detalle de la foto anterior



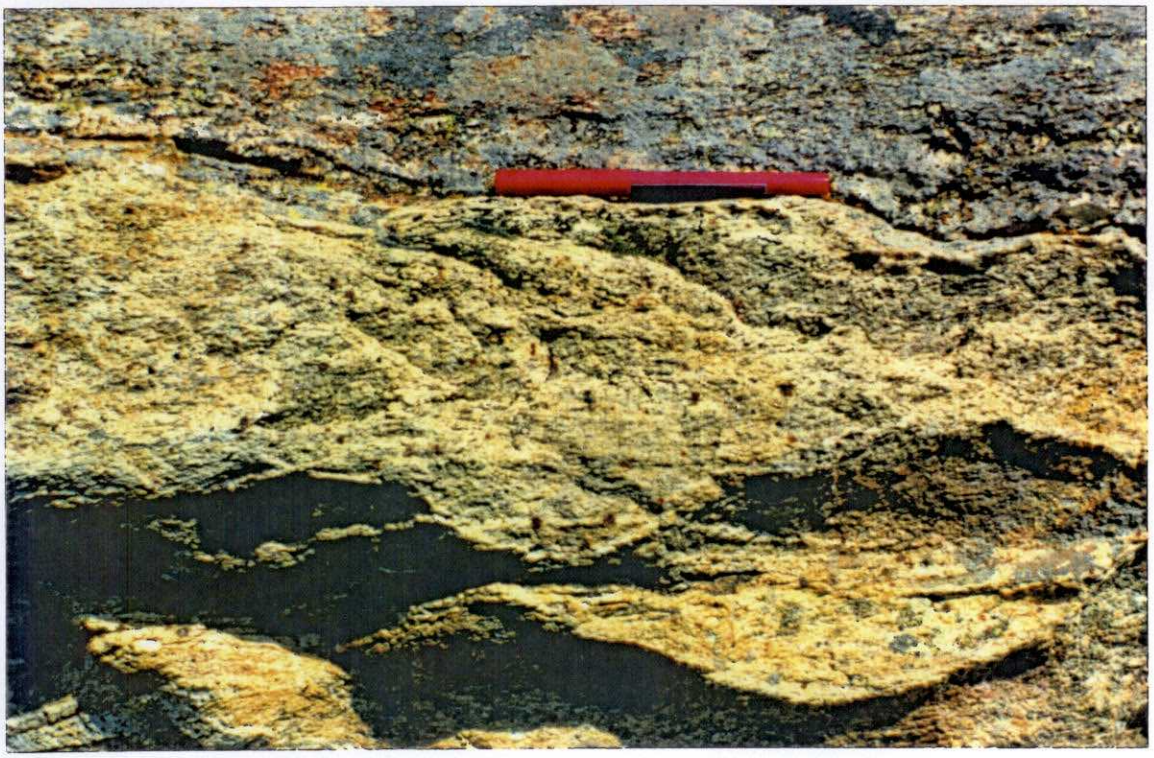
DM 9169

Vista parcial de ortoneises leucocráticos existentes entre los metasedimentos situados al NE de Bercimuelle.



DM 9170

Panorámica de plagmatitas tectonizadas entre metasedimentos al N de Gallegos de Salmirón



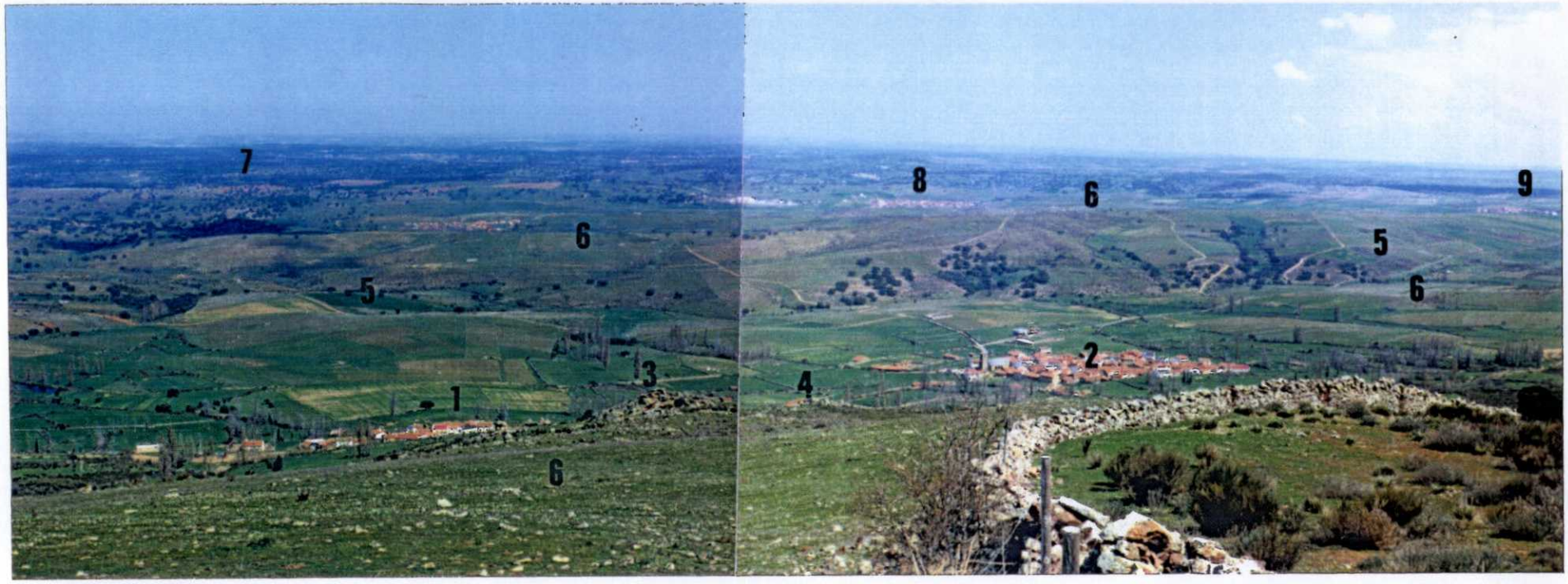
DM 9171

Detalle de ortoneises leucocráticos con granates al S de El Alamo



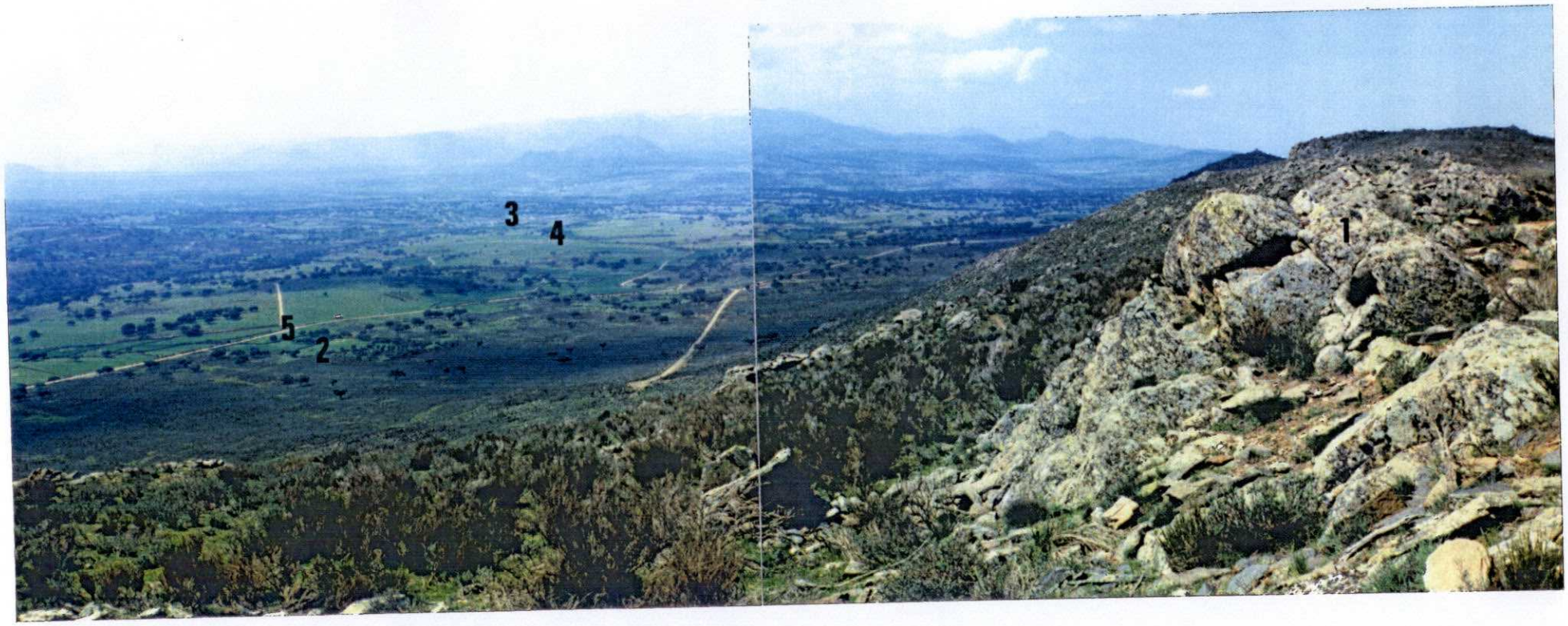
DM 9172

Detalle de ortoneises de Nadrillos de El Alamo en la misma serie que la foto anterior



DM 9173

Panorámica desde la Sierra de Nanillos El Alamo (1); Nanillos de El Alamo (2); Ortoneises de Nanillos de El Alamo (3); Ortoneises leucocráticos (4); Fractura de Nanillos de El Alamo-Castellanos (5); Metasedimentos de la Fm. Monterrubio (6); Sedimentos terciarios (7); Armenteros (8) y Mercadillo (9).



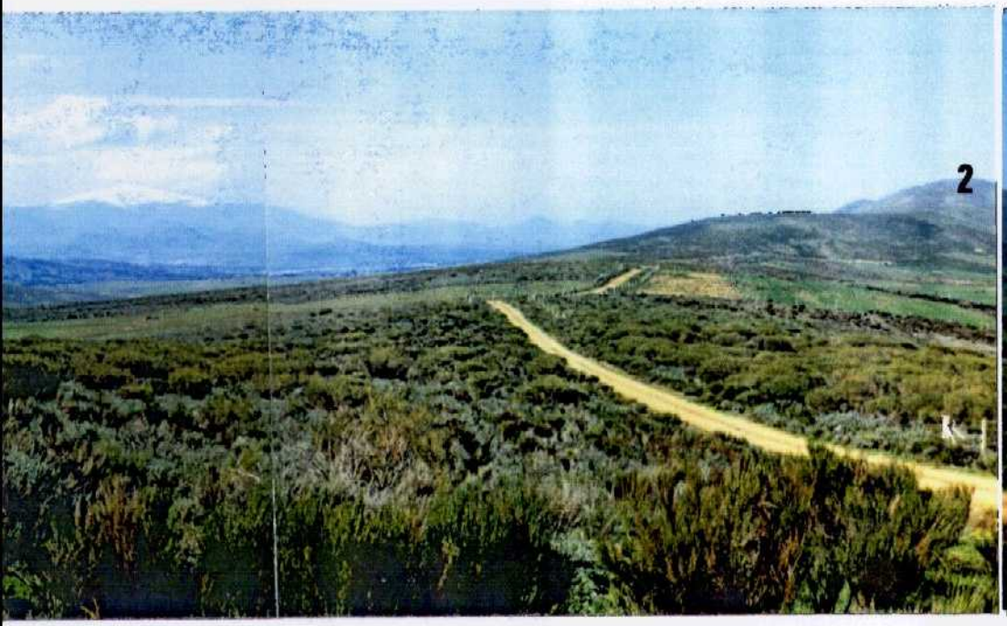
DM 9174

Panorámica desde la Sierra de Nanillos, Ortoneis de Nanillos (1); Metasedimentos de la Fm. Monterrubio (2); Bercimuelle (3); Ortoneises de Bercimuelle (4); Alternancia de pliegue de F3 de la foto nº 9162 (5); Al fondo relieves de la Sierra de Gredos

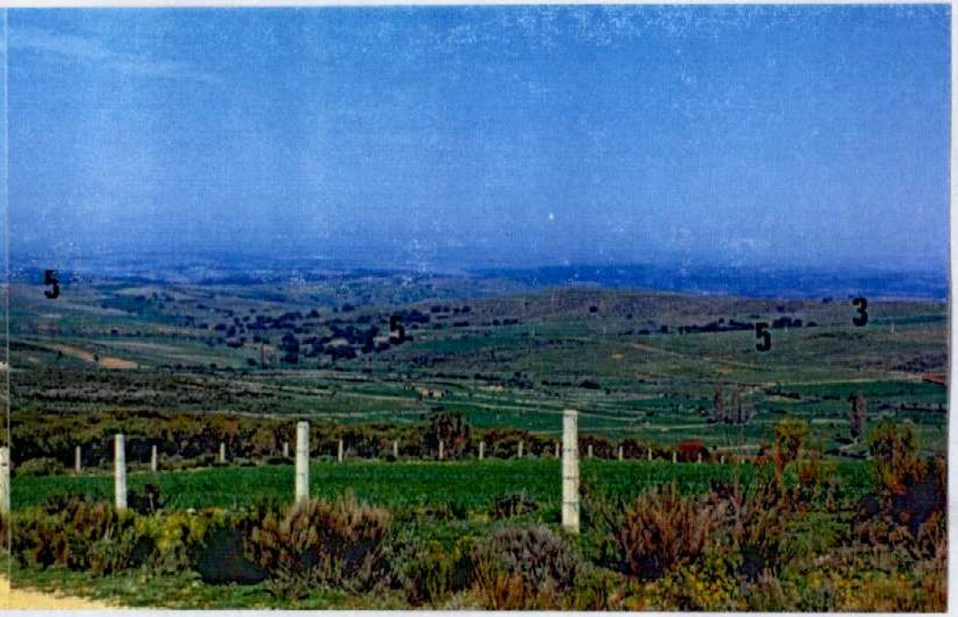


DM 1975

Panorámica del área de Bercimuelle-Nanillos de El Alamo. Ortoneises de Bercimuelle (1); Ortoneises de Nanillos de El Alamo (2); Metasedimentos de la Fm. Monterrubio (3); Fractura de Nanillos de El Alamo-Castellanos (4). Al fondo, a la derecha, relieves de la Sierra de Gredos.







illos de El Alamo. Ortoneises de Bercimuelle (1); Ortoneises de Nani-
e la Fm. Monterrubio (3); Fractura de Nanillos de El Alamo-Castellanos
de la Sierra de Gredos.